

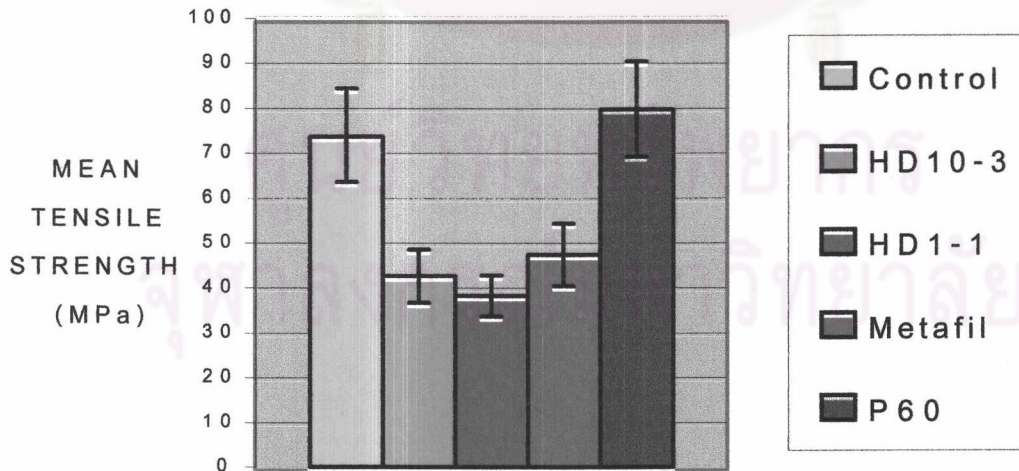
บทที่ 4

ผลการทดลอง

นำผลการทดลองของค่าแรงดึงสูงสุดที่ทำให้ขันตัวอย่างในแต่ละกลุ่มแตกหัก (รูปที่ 30 – 34 ในภาคผนวก) ไปคำนวณหาค่าความทนแรงดึงในหน่วยเมกะปานาล (ตารางที่ 4 – 8 ในภาคผนวก) จากนั้นนำมาคำนวณหาค่าเฉลี่ยความทนแรงดึงและส่วนเบี่ยงเบนมาตรฐานของแต่ละกลุ่ม ดังแสดงในตารางที่ 2 และกราฟรูปที่ 16

ตารางที่ 2 แสดงค่าเฉลี่ยความทนแรงดึง \pm ส่วนเบี่ยงเบนมาตรฐาน (เมกะปานาล)

กลุ่มทดลอง ($n = 10$)	ค่าเฉลี่ย \pm ส่วนเบี่ยงเบนมาตรฐาน
Control	73.62 ± 10.78
HD10-3	42.67 ± 5.88
HD1-1	38.28 ± 4.53
Metafil	47.40 ± 6.94
P60	79.79 ± 10.65



รูปที่ 16 กราฟแสดงค่าเฉลี่ยความทนแรงดึงและส่วนเบี่ยงเบนมาตรฐาน

จากรูปที่ 16 พบร่วมกับ วัสดุบุรณะเรซินคอมโพสิตชนิดพี60 มีค่าเฉลี่ยความหนาแน่นดึงสูงที่สุด คือ 79.79 ± 10.65 เมกะปาสคัล รองลงมาคือเนื้อฟันวัว (73.62 ± 10.78 เมกะปาสคัล) วัสดุบุรณะเรซินคอมโพสิตชนิดเมทาฟิล (47.40 ± 6.94 เมกะปาสคัล) ไฮบริเดอร์เดนท์ที่ผ่านการปรับสภาพเนื้อฟันวัวด้วยกรด 10-3 หรือกลุ่ม HD10-3 (42.67 ± 5.88 เมกะปาสคัล) และไฮบริเดอร์เดนท์ที่ผ่านการปรับสภาพเนื้อฟันวัวด้วยกรด 1-1 หรือกลุ่ม HD1-1 (38.28 ± 4.53 เมกะปาสคัล) ตามลำดับ

จากการทดสอบการกระจายตัวของข้อมูล (ตารางที่ 9 ในภาคผนวก) พบร่วมกับข้อมูลของทุกกลุ่มมีการแจกแจงแบบปกติ ที่ระดับนัยสำคัญ 0.05 ดังนั้นจึงทำการทดสอบข้อมูลเพื่อหาความแตกต่างของแต่ละกลุ่มโดยการวิเคราะห์ความแปรปรวนแบบทางเดียว (ตารางที่ 10 ในภาคผนวก) พบร่วมกับค่าเฉลี่ยของความหนาแน่นดึงของแต่ละกลุ่มมีค่าแตกต่างกันอย่างน้อย 1 คู่ และเมื่อทดสอบค่าความแปรปรวนของประชากร พบร่วมกับกลุ่มมีค่าความแปรปรวนไม่เท่ากัน (ตารางที่ 11 ในภาคผนวก) จึงนำข้อมูลมาเปรียบเทียบเชิงช้อนแบบดันเนท ทีทรี (ตารางที่ 12 ในภาคผนวก) เพื่อหาความแตกต่างระหว่าง 2 กลุ่ม ได้ผลสรุประยุกต์ตามค่าเฉลี่ยความหนาแน่นดึงของกลุ่มทดลองจากน้อยไปมาก ดังนี้

ตารางที่ 3 การเปรียบเทียบเชิงช้อนแบบดันเนท ทีทรี

กลุ่มทดลอง	จำนวน	1*	2*
HD1-1	10	38.2830	
HD10-3	10	42.6710	
Metafil	10	47.4040	
Control	10		73.6240
P60	10		79.7900

*ในสมมติฐานเดียวกัน แสดงค่าเฉลี่ยความหนาแน่นดึงของกลุ่มที่ไม่แตกต่างกัน ที่ระดับนัยสำคัญ 0.05

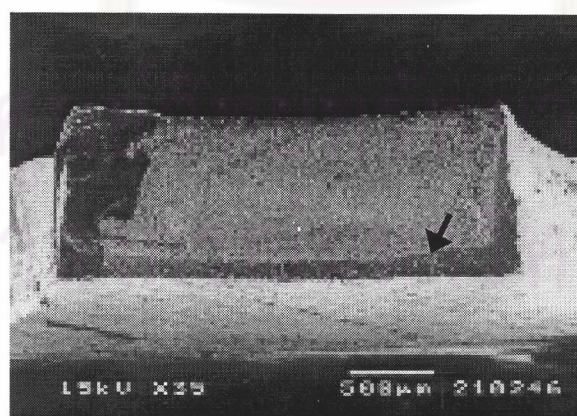
เมื่อพิจารณาเทียบค่าเฉลี่ยความหนาแน่นดึงของกลุ่มไฮบริเดอร์เดนท์ที่ผ่านการปรับสภาพเนื้อฟันวัวด้วยกรด 10-3 (HD10-3) มีค่าเฉลี่ยความหนาแน่นมากกว่าไฮบริเดอร์เดนท์ที่ผ่านการปรับสภาพเนื้อฟันวัวด้วยกรด 1-1 (HD1-1) แต่ไม่มีความแตกต่างกันอย่างมีนัยสำคัญทางสถิติ ที่ระดับนัยสำคัญ 0.05

เมื่อพิจารณาค่าเฉลี่ยความหนาแรงดึงของกลุ่มวัสดุบุรณะเรซินคอมโพสิตชนิดเมท้าฟิล พบว่า มีค่าเฉลี่ยความหนาแรงดึงมากกว่าไฮบริไดซ์เดนทีนทั้งสองกลุ่ม แต่ไม่มีความแตกต่างกันอย่างมีนัยสำคัญทางสถิติ ที่ระดับนัยสำคัญ 0.05 และมีค่าเฉลี่ยความหนาแรงดึงต่ำกว่า กลุ่มวัสดุบุรณะเรซินคอมโพสิตชนิดพี60 และกลุ่มนื้อฟันวัว อย่างมีนัยสำคัญทางสถิติ ส่วนกลุ่มวัสดุบุรณะเรซินคอมโพสิตชนิดพี60 มีค่าเฉลี่ยความหนาแรงดึงมากที่สุด แต่ไม่มีความแตกต่างกับกลุ่มนื้อฟันวัวอย่างมีนัยสำคัญทางสถิติ

ลักษณะการแตกหักของชิ้นตัวอย่าง

ทุกกลุ่มมีการแตกหักบริเวณส่วนกลางซึ่งเป็นบริเวณที่แคบที่สุดของชิ้นตัวอย่าง และพบว่า ไฮบริไดซ์เดนทีนที่ผ่านการปั๊บสภาพเนื้อฟันวัวและเมรเซนซีเมนต์ชนิดซูเปอร์บอนด์ซีเอนด์บีเข้าไปทดแทนทั้งสองกลุ่ม (HD10-3 และ HD1-1) ซึ่งมีลักษณะกึ่งโปร่งใส เมื่อนำไปทดสอบความหนาแรงดึง ชิ้นตัวอย่างบริเวณส่วนกลางที่แคบที่สุดจะเปลี่ยนสีจากกึ่งโปร่งใสเป็นสีขาวขุ่น ก่อนเกิดการแตกหัก

เมื่อพิจารณาพื้นผิวน้ำตัดบริเวณที่หักของชิ้นตัวอย่าง พบว่า กลุ่มไฮบริไดซ์เดนทีนทั้งสองกลุ่ม มีรั้นของเรซินซีเมนต์ล้อมรอบส่วนที่เป็นไฮบริไดซ์เดนทีนซึ่งมีขนาดเล็กลง สามารถสังเกตเห็นได้อย่างชัดเจนเมื่อตรวจดูด้วยกล้องจุลทรรศน์อิเลคทรอนแบบสองกราดที่กำลังขยาย 35 เท่า ดังรูปที่ 17 เรซินซีเมนต์ที่ล้อมรอบสามารถยึดติดกับส่วนไฮบริไดซ์เดนทีนได้ดี ไม่มีการแตกหรือแยกชั้นเลยทุกชิ้นตัวอย่าง เมื่อตรวจดูด้วยกำลังขยาย 7500 เท่า



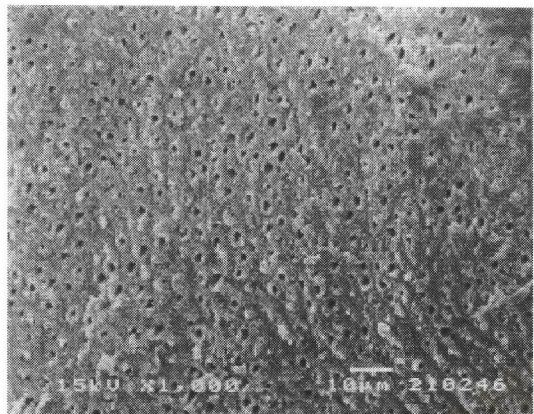
รูปที่ 17 แสดงชิ้นไฮบริไดซ์เดนทีนที่เมรเซนซีเมนต์ล้อมรอบ (ลูกศรชี้ข้ออยู่ต่อระหว่างไฮบริไดซ์เดนทีนและเมรเซนซีเมนต์ (กำลังขยาย 35 เท่า)

การตรวจพื้นผิวน้ำตัดบริเวณที่หักด้วยกล้องจุลทรรศน์อิเลคตรอนแบบส่องกราด

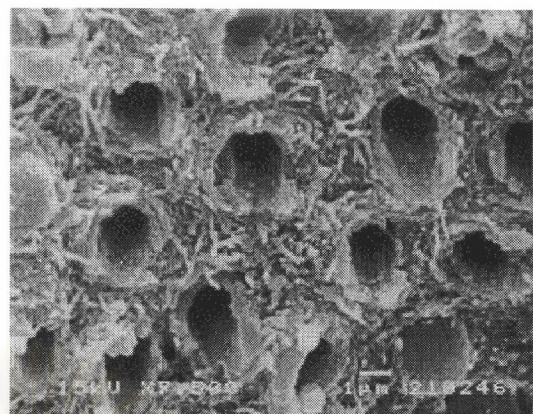
กลุ่มเนื้อฟันวัวเมื่อตรวจด้วยกล้องจุลทรรศน์อิเลคตรอนแบบส่องกราด กำลังขยาย 1000 และ 7500 เท่า พบร่วมกับ มีท่อเนื้อฟันกระจายอยู่ทั่วไป ขนาดท่อเนื้อฟันโดยเฉลี่ยประมาณ 2 - 3 มไมโครเมตร พบลักษณะการเรียงตัวของท่อเนื้อฟันในแนว牙 เป็นส่วนใหญ่ แสดงว่า ท่อเนื้อฟันเรียงตัวขนานกับแนวการแตกหักของชิ้นตัวอย่าง อาจพบในแนวตัดขวางบ้างเล็กน้อยในบริเวณที่มีการแตกหักไม่เป็นระนาบเดียวกัน เนื้อฟันรอบท่อ (peritubular dentin) สามารถแยกออกจากเนื้อฟันระหว่างท่อ (intertubular dentin) ได้ เนื่องจากเห็นเป็นແบบสีขาวกว่า และมีเส้นใยคอลลาเจนทดสอบเป็นร่องแทบทั้งภายในท่อเนื้อฟันและบริเวณเนื้อฟันระหว่างท่อ ดังรูปที่ 18

เมื่อพิจารณากลุ่มไฮบริดซ์เดนทินทั้งสองกลุ่มคือ กลุ่ม HD10-3 และ HD1-1 พบร่วม มีลักษณะคล้ายกัน คือ ยังคงมองเห็นเป็นลักษณะโครงสร้างของฟัน ส่วนใหญ่พบท่อเนื้อฟันวางเรียงตัวในแนวขนานหรือเกือบขนานกับแนวการแตกหักของชิ้นตัวอย่าง อาจพบในแนวตัดขวางบ้างเล็กน้อยโดยเฉพาะบริเวณขอบของชิ้นไฮบริดซ์เดนทินหรือบริเวณที่แตกหักไม่เป็นระนาบเดียวกัน เช่นเดียวกับกลุ่มนี้อีกด้วย พื้นผิวน้ำตัดบริเวณที่แตกหักส่วนใหญ่ไม่เรียบต่อเนื่องเป็นระนาบเดียวกัน บริเวณที่เคยเป็นเนื้อฟันระหว่างท่อเนื้อฟันมีเรซินเข้ามาแทนที่โดยท่อหุ้มร่วงเหคอลลาเจนอยู่ จึงไม่พบลักษณะของเส้นใยคอลลาเจนเหมือนกลุ่มนี้อีก ลักษณะเรซินภายในฟันส่วนใหญ่มีเรซินอยู่เต็มท่อ ส่วนน้อยไม่พบเรซินอยู่ภายในท่อเนื้อฟัน ลักษณะเรซินภายในท่อเนื้อฟันมีแนวโน้มไม่มีติดกับผนังของท่อเนื้อฟัน ดังรูปที่ 19 และ 20

ส่วนกลุ่มวัสดุบุรณะฟันเรซินชนิดคอมโพสิตพี60 และชนิดเมทาฟิล พบร่วมลักษณะพื้นผิวน้ำตัดเหมือนกันทั้งชิ้น (homogeneous) โดยวัสดุบุรณะฟันเรซินคอมโพสิตชนิดพี60 มีรอยการหลุดของวัสดุอัดแทรกออกจากเรซินเมทริกซ์ ดังรูปที่ 21 ส่วนวัสดุบุรณะฟันเรซินคอมโพสิตชนิดเมทาฟิล มีลักษณะเป็นเนื้อดียกันทั้งชิ้น ไม่พบรอยการหลุดของวัสดุอัดแทรก ดังรูปที่ 22



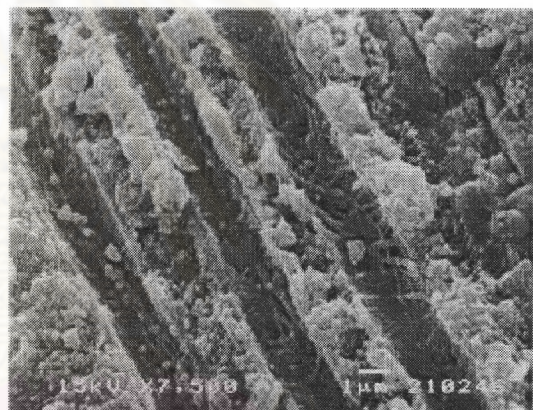
۷۰



۹۱



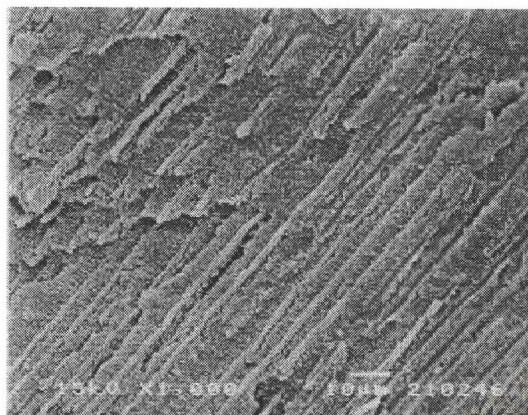
၃၁



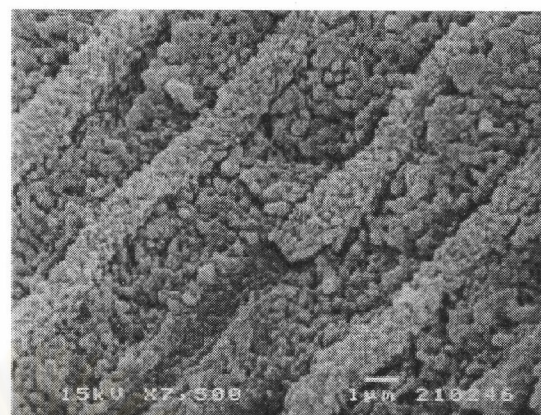
19

รูปที่ 18 ภาพถ่ายด้วยกล้อง klub ทรัคโน๊ต เลคตرونแบบส่องสว่าง แสดงพื้นผิวบริเวณที่หักของกลุ่มนีโอฟันวัว

- ก. แนวตัดขวางของท่อเนื้อพื้น กำลังขยาย 1000 เท่า
ข. แนวตัดขวางของท่อเนื้อพื้น กำลังขยาย 7500 เท่า
ค. แนวยาวของท่อเนื้อพื้น กำลังขยาย 1000 เท่า
ง. แนวยาวของท่อเนื้อพื้น กำลังขยาย 7500 เท่า



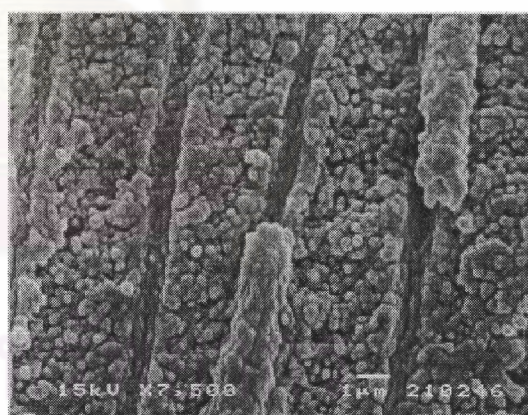
1



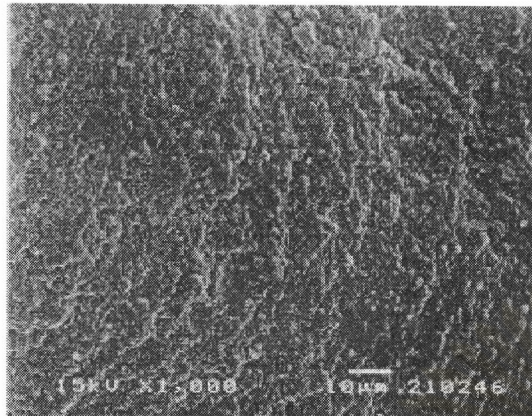
၅၁



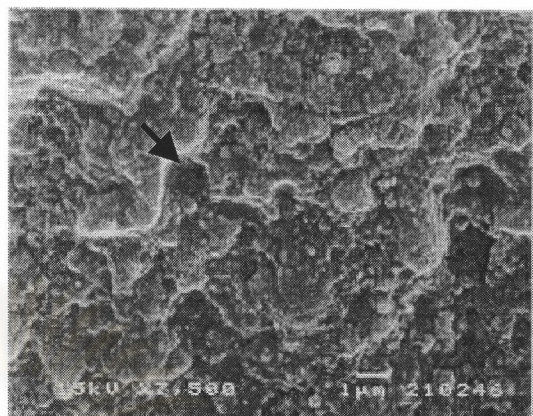
1



91



ก.



ข.

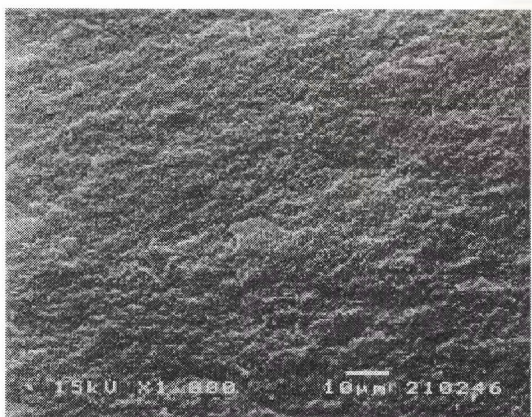
รูปที่ 21 ภาพถ่ายด้วยกล้องจุลทรรศน์อิเลคตรอนแบบส่องกราด แสดงพื้นผิวบริเวณที่หัก

ของกลุ่มวัสดุบูรณะเรซินคอมโพสิตชนิดพี60

ก. กำลังขยาย 1000 เท่า

ข. กำลังขยาย 7500 เท่า (ลูกศรชี้รอยการหลุด

ของวัสดุอัดแทรรก)



ก.



ข.

รูปที่ 22 ภาพถ่ายด้วยกล้องจุลทรรศน์อิเลคตรอนแบบส่องกราด แสดงพื้นผิวบริเวณที่หัก

ของกลุ่มวัสดุบูรณะเรซินคอมโพสิตชนิดเมทาฟิล

ก. กำลังขยาย 1000 เท่า

ข. กำลังขยาย 7500 เท่า

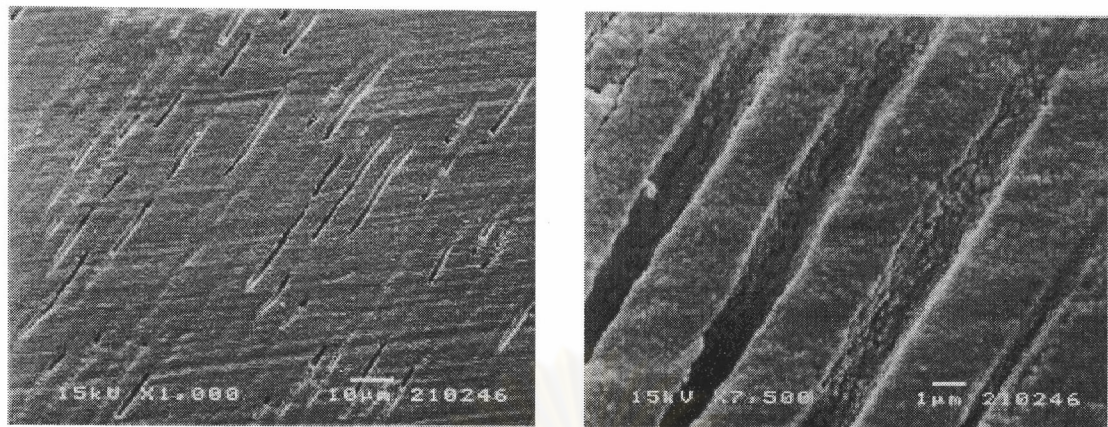
การตรวจพื้นผิวขัดเรียบด้วยกล้องจุลทรรศน์อิเลคตรอนแบบส่องกราด

การตรวจพื้นผิวขัดเรียบซึ่งตัดขึ้นตัวอย่างที่หักออก 1 มิลลิเมตรในแนวเดียวกับแนวการแตกหักของกลุ่มนื้อฟันวัว ด้วยกล้องจุลทรรศน์อิเลคตรอนแบบส่องกราด กำลังขยาย 1000 และ 7500 เท่า พบร้า มีท่อนื้อพันกระจาดอยู่ทั่วไป เห็นลักษณะการเรียงตัวของท่อนื้อพันส่วนใหญ่เป็นแนวยาว อาจพบในแนวตัดขวางบ้างเล็กน้อย เนื้อฟันระหว่างท่อถูกขัดเรียบจนไม่เห็นลักษณะของเส้นใยคอลลาเจนหรือผลึกไฮดรอกซีอะป้าไทด์ แต่ภายใต้ท่อนื้อพันพบว่ายังมีลักษณะเป็นร่องๆ ชุขะ ดังรูปที่ 23

เมื่อพิจารณากลุ่มไอบริเดอร์เดนทีนด้วยกล้องจุลทรรศน์อิเลคตรอนแบบส่องกราดที่กำลังขยาย 1000 และ 7500 เท่า เพื่อดูโครงสร้างของไอบริเดอร์เดนทีนที่เกิดขึ้นในบริเวณที่ไม่เกิดการแตกหัก พบร้าทั้งกลุ่ม HD10-3 และ HD1-1 มีลักษณะคล้ายกันเช่นเดียวกัน คือ ส่วนใหญ่พบท่อเนื้อพันกระจาดอยู่ทั่วไปในแนวยาว อาจพบในแนวตัดขวางบ้างเล็กน้อย และมีเรซินแทรกอยู่ในท่อเนื้อพันเต็มท่อ ส่วนใหญ่เรซินที่เข้าไปอยู่ภายในท่อเนื้อพันมีลักษณะที่เกือบกลืนเป็นเนื้อเดียวกันกับผนังของท่อเนื้อพัน แต่ยังคงมีช่องว่างระหว่างเรซินกับผนังท่อเนื้อพันเล็กน้อย ดังรูปที่ 24 และ 25 บางส่วนพบว่ามีเรซินเข้าไปอยู่ในท่อเนื้อพันในลักษณะกลืนเป็นเนื้อเดียวกัน ดังรูปที่ 26 และมีเพียงส่วนน้อยที่พบว่าไม่มีเรซินแทรกอยู่ภายในท่อเนื้อพันเลยหรือมีช่องว่างขนาดใหญ่ระหว่างเรซินกับผนังท่อเนื้อพัน ดังรูปที่ 27

ส่วนกลุ่มวัสดุบุรณะพื้นเรซินคอมโพสิตชนิดพี60 พบร้า มีลักษณะพื้นผิวเหมือนกันทั้งชิ้นคือ วัสดุอัดแทรกขนาดประมาณ 0.01 – 3 ไมโครเมตร กระจาดอยู่ทั่วไปในเรซินเมทริกซ์ ดังรูปที่ 28 ส่วนกลุ่มวัสดุบุรณะพื้นเรซินคอมโพสิตชนิดเมทافتิล พบร้า มีลักษณะพื้นผิวเหมือนกันทั้งชิ้น เช่นเดียวกัน เป็นพื้นผิวเรียบ ไม่พบลักษณะของวัสดุอัดแทรกซัดเจน ดังรูปที่ 29

**ศูนย์วิทยทรัพยากร
จุฬาลงกรณ์มหาวิทยาลัย**

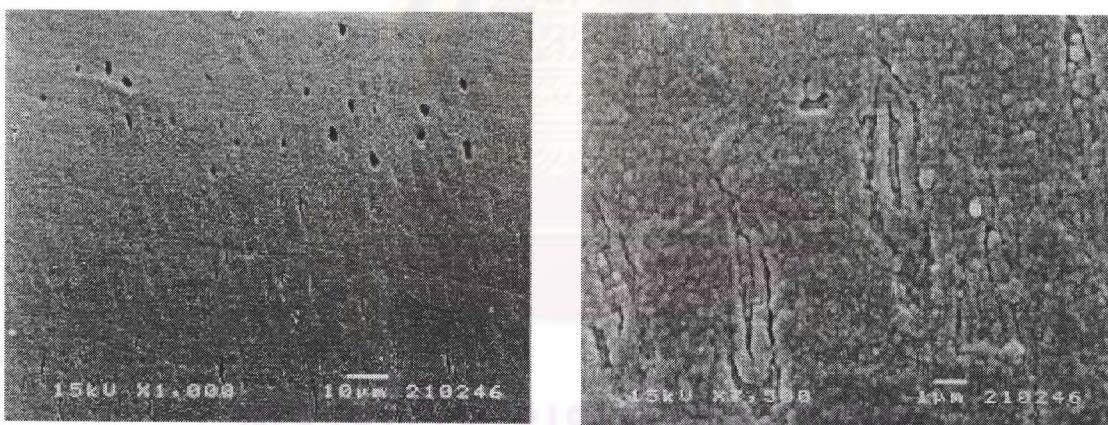


ก.

ข.

รูปที่ 23 ภาพถ่ายด้วยกล้องจุลทรรศน์อิเลคตรอนแบบส่องการดู แสดงพื้นผิวขัดเรียบ
ของกลุ่มเนื้อฟันวัว

ก. กำลังขยาย 1000 เท่า ข. กำลังขยาย 7500 เท่า

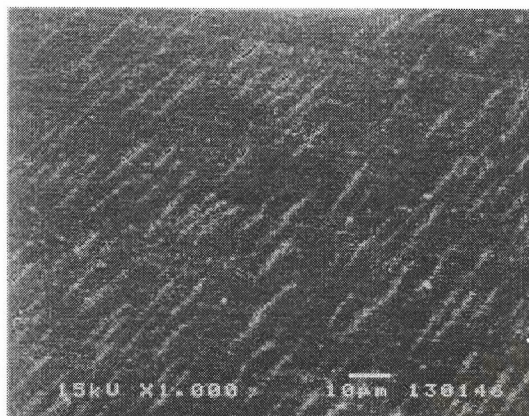


ก.

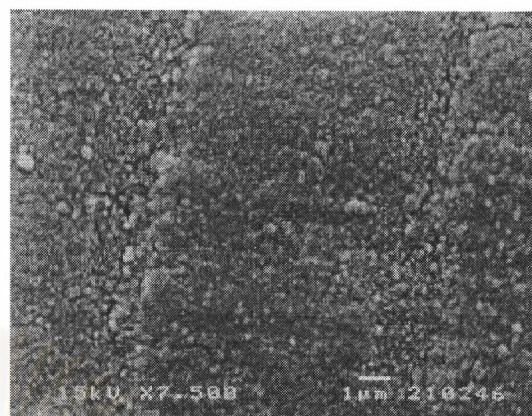
ข.

รูปที่ 24 ภาพถ่ายด้วยกล้องจุลทรรศน์อิเลคตรอนแบบส่องการดู แสดงพื้นผิวขัดเรียบ
ของกลุ่มไฮบริดซ์เดนท์ที่ผ่านการปรับสภาพด้วยกรด 1-1 (HD1-1) ที่มีเรซิน
ภายในห่อเนื้อฟันเกือบกลืนเป็นเนื้อเดียวกับผนังห่อเนื้อฟัน และบางตำแหน่ง
ไม่มีเรซินในห่อ

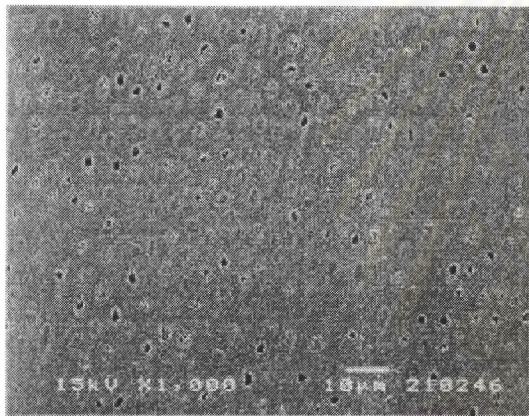
ก. กำลังขยาย 1000 เท่า ข. กำลังขยาย 7500 เท่า



ก.



ก.



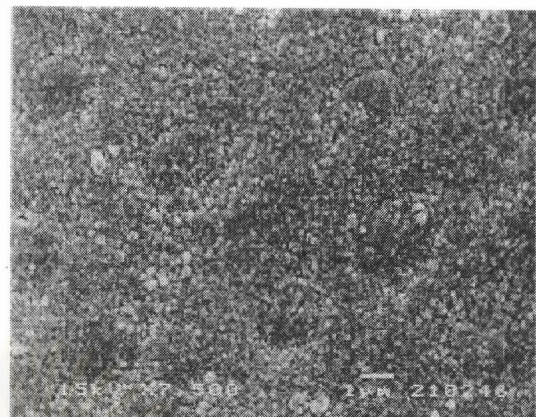
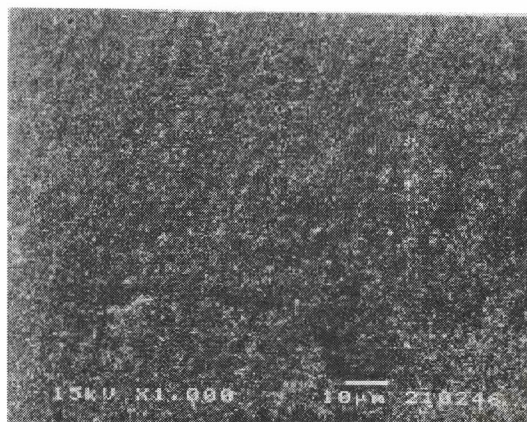
ค.



ง.

รูปที่ 25 ภาพถ่ายด้วยกล้องจุลทรรศน์อิเลคทรอนแบบสองกราด แสดงพื้นผิวขัดเรียบของ
กลุ่มไயบริดซ์เดนทินที่ผ่านการปรับสภาพด้วยกรด 10-3 (HD10-3) ที่มีเรซินภายใน
ในท่อเนื้อฟันเกือบกลืนเป็นเนื้อดียวกับผนังท่อเนื้อฟัน

- ก. แนวยาวของท่อเนื้อฟัน กำลังขยาย 1000 เท่า
- ข. แนวยาวของท่อเนื้อฟัน กำลังขยาย 7500 เท่า
- ค. แนวตัดยาวของท่อเนื้อฟัน กำลังขยาย 1000 เท่า
- ง. แนวตัดยาวของท่อเนื้อฟัน กำลังขยาย 7500 เท่า

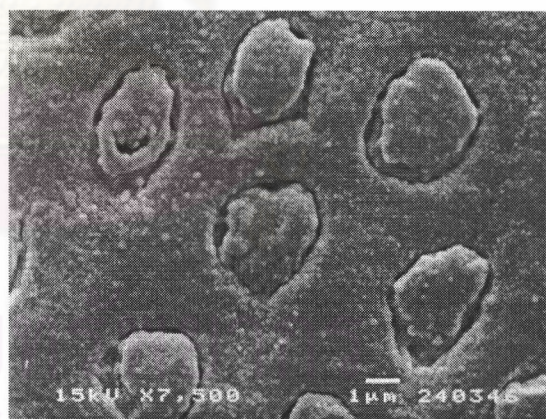
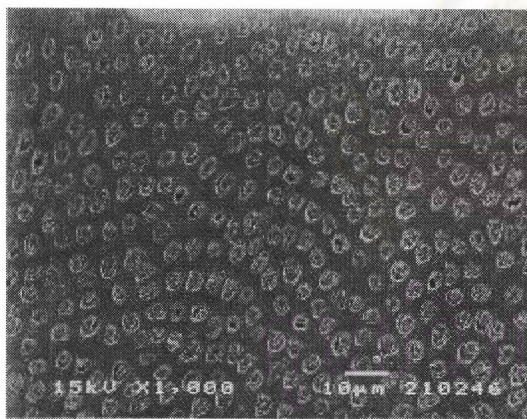


ก.

ข.

รูปที่ 26 ภาพถ่ายด้วยกล้องจุลทรรศน์อิเลคตรอนแบบส่องกราด แสดงพื้นผิวขัดเรียบ ของกลุ่มไอบริไดซ์เดนทีนที่ผ่านการปรับสภาพด้วยกรด 10-3 (HD10-3) ที่มี เกรซินภายในห่อเนื้อฟันกลืนเป็นเนื้อดียวกับผนังห่อเนื้อฟัน

ก. กำลังขยาย 1000 เท่า ข. กำลังขยาย 7500 เท่า

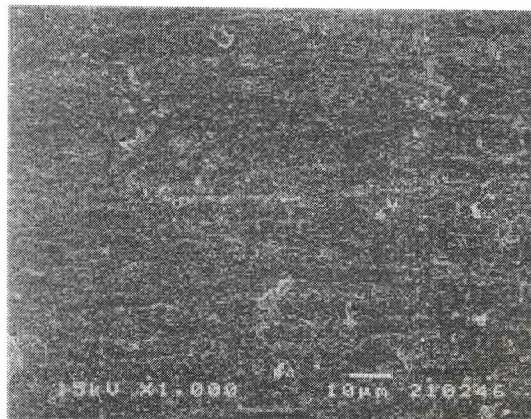


ก.

ข.

รูปที่ 27 ภาพถ่ายด้วยกล้องจุลทรรศน์อิเลคตรอนแบบส่องกราด แสดงพื้นผิวขัดเรียบ ของกลุ่มไอบริไดซ์เดนทีนที่ผ่านการปรับสภาพด้วยกรด 10-3 (HD10-3) ที่มี ช่องว่างขนาดใหญ่ระหว่างเกรซินกับผนังห่อเนื้อฟัน

ก. กำลังขยาย 1000 เท่า ข. กำลังขยาย 7500 เท่า



ก.

ข.

รูปที่ 28 ภาพถ่ายด้วยกล้องจุลทรรศน์อิเลคตรอนแบบส่องกราด แสดงพื้นผิวขั้ดเรียบ
ของกลุ่มวัสดุบุรณะเรซินคอมโพสิตชนิดพี60

ก. กำลังขยาย 1000 เท่า

ข. กำลังขยาย 7500 เท่า



ก.

ข.

รูปที่ 29 ภาพถ่ายด้วยกล้องจุลทรรศน์อิเลคตรอนแบบส่องกราด แสดงพื้นผิวขั้ดเรียบ
ของกลุ่มวัสดุบุรณะเรซินคอมโพสิตเมท้าฟิล

ก. กำลังขยาย 1000 เท่า

ข. กำลังขยาย 7500 เท่า